

УДК 535.375.55

**РАЗРЕШЕНИЕ СТРУКТУР ШИРОКИХ ПОЛОС КР  
АЦЕТОНА И БЕНЗОЛА В ОБЛАСТИ  $3000 \text{ см}^{-1}$   
МЕТОДОМ ПОЛЯРИЗАЦИОННОГО КАРС**

Бункин А. Ф., Галумян А. С., Жуманов Х. А., Мальцев Д. В., Сурский К. О.

Методом поляризационной КАРС получены панорамные спектры валентных С—Н-колебаний бензола и ацетона в области  $3000 \text{ см}^{-1}$ . Более высокие — спектральное разрешение и чувствительность использованного метода по сравнению со спонтанным — КР позволяют определить спектроскопические параметры перекрывающихся линий.

Существует ряд жидкостей, для которых спектры спонтанного комбинационного рассеяния (СКР) имеют вид широких полос, образованных сильно уширенными и перекрывающимися линиями. Наиболее характерным представителем из них является вода — объект чрезвычайно интересный как с чисто физической стороны [¹], так и с точки зрения прикладных задач [²]. Здесь имеется в виду полоса валентных колебаний О—Н-связи, которая в спектрах СКР лежит в диапазоне  $3000\text{--}4000 \text{ см}^{-1}$  и имеет сложную форму контура. Аналогичные спектры СКР наблюдаются в ряде органических растворителей, в том числе и в таких широко распространенных, как ацетон и бензол [³]. Здесь речь идет о валентных колебаниях С—Н-связей, для которых комбинационные резонансы лежат в области  $3000 \text{ см}^{-1}$ . Хотя в данном случае задача разрешения структур полос КР проще, чем в воде, тем не менее она представляет большой спектроскопический интерес, поскольку в спектре СКР ацетона, например, надежно регистрируется только сильная линия  $2923 \text{ см}^{-1}$ , а слабые линии  $2968$  и  $3005 \text{ см}^{-1}$  наблюдаются на фоне суммарного контура в виде небольших пиков, сравнимых с шумами. Аналогичная ситуация имеет место и в спектре СКР бензола в области  $3000 \text{ см}^{-1}$ , где две сильные широкие линии  $3047$  и  $3062 \text{ см}^{-1}$  сливаются в один контур несимметричной формы.

Ясно, что в приведенных примерах задача изучения контуров отдельных компонент полосы, определения их ширин и степеней деполяризации в СКР довольно сложна. Таким образом, представляет интерес разработка единой методики, позволяющей решать описанные задачи. В настоящей работе приводятся результаты исследования полос комбинационного рассеяния ацетона и бензола в области отстроек  $3000 \text{ см}^{-1}$  методом поляризационной КАРС.

Поскольку измеряемый в КАРС антостоксов сигнал пропорционален квадрату модуля кубической восприимчивости среды, то в спектре отдельные линии проявляются в виде интерференции, а не аддитивного наложения, как в спектре СКР. Кроме того, в поляризационной КАРС существует возможность активного формирования наблюдаемого спектра путем изменения поляризационных условий. Получаемая таким образом совокупность спектров несет в себе более полную информацию, чем спектр СКР. Это преимущество метода проявляется именно в задачах, связанных с разрешением наложившихся линий [⁴–⁶]. В наших экспериментах генерация волны на антостоксовой частоте  $\omega_a$  осуществлялась по вырожденной схеме:  $\omega_a = 2\omega_1 - \omega_2$ , где волной  $\omega_1$  служила вторая гармоника YAG-лазера, работающего в режиме генерации гигантского импульса, а в качестве  $\omega_2$  использовалось излучение лазера на красителе с плавной перестройкой длины волны и с накачкой второй гармоникой YAG-лазера. Угол между ортами линейной поляризации  $e_1$ ,  $e_2$  волн  $\omega_1$ ,  $\omega_2$  составлял  $\varphi = \widehat{e_1 e_2} = 60^\circ$ . В антосток-

сов луч вносила призма Глана—Томсона. В эксперименте измерялось отношение амплитуды сигнала, пропущенного призмой Глана —  $I_{\parallel}$ , к выведенному из нее под углом  $90^\circ$  —  $I_{\perp}$ . В этом случае, вводя обозначения:  $\chi_{1111}^{(3)}$  — кубическая восприимчивость среды,  $\chi_{1111}^{(3)NR}$  — нерезонансная часть,  $\tilde{\chi}_{1111}^{(3)R}$  — пиковое

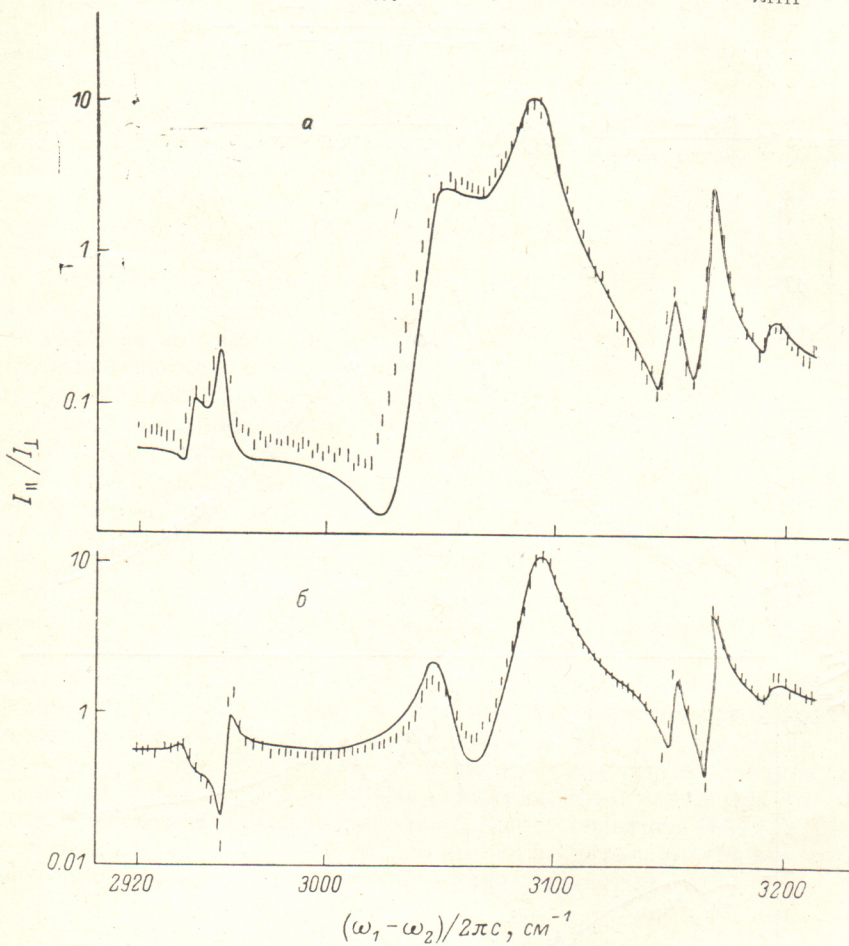


Рис. 1. Поляризационные спектры КАРС бензола в диапазоне 2920—3220 см<sup>-1</sup>.

Вертикальные линии — эксперимент, сплошные кривые — расчет по данным таблицы.  $\varepsilon$ , град:  $a = 0$ ,  $b = 10$ .

значение резонансной части  $\chi_{1111}^{(3)}$ ;  $\mathbf{p}_{NR}$ ,  $\mathbf{p}_R$  — соответствующие векторы поляризации,

$$\alpha = \left( \tilde{\chi}_{1111}^{(3)R} / \chi_{1111}^{(3)NR} \right) (|\mathbf{p}_R| / |\mathbf{p}_{NR}|), \quad \theta = \widehat{\mathbf{p}_R \mathbf{p}_{NR}},$$

$\rho$  — степень деполяризации,  $\Omega/2\pi c$  — центральная частота,  $\Gamma$  — полуширина на полувысоте линии КР,  $\Delta = (\omega_1 - \omega_2 - \Omega)/\Gamma$ , и пользуясь формулами из [4], можно получить для уединенной линии Лорентцевой формы

$$\frac{I_{\parallel}}{I_{\perp}} = \frac{\left| \sin \varepsilon + \frac{\alpha}{-i - \Delta} \sin(\theta - \varepsilon) \right|^2}{\left| \cos \varepsilon + \frac{\alpha}{-i - \Delta} \cos(\theta - \varepsilon) \right|^2}, \quad (1)$$

где  $\varepsilon$  — угол между  $\mathbf{p}_{NR}$  и нормалью к плоскости пропускания анализатора.

В случае наложения  $N$  линий лорентцевой формы измеряемый спектр будет иметь вид

$$\frac{I_{\parallel}}{I_{\perp}} = \frac{\left| \sin \varepsilon + \sum_{j=1}^N \frac{A_j x_j \sin(\theta_j - \varepsilon)}{-i - (\omega_1 - \omega_2 - \Omega_j)/\Gamma_j} \right|^2}{\left| \cos \varepsilon + \sum_{j=1}^N \frac{A_j x_j \cos(\theta_j - \varepsilon)}{-i - (\omega_1 - \omega_2 - \Omega_j)/\Gamma_j} \right|^2}, \quad (2)$$

где

$$\theta_j = \arctg \frac{(3\rho_i - 1) \operatorname{tg} \varphi}{3 + \rho_j \operatorname{tg}^2 \varphi}, \quad A_j = 3 \sqrt{1 + \rho_0^2 \operatorname{tg}^2 \varphi} / \sqrt{9 + \operatorname{tg}^2 \varphi}, \quad x_j = \bar{\chi}_{1111}^{(3)R} / \chi_{1111}^{(3)NR}.$$

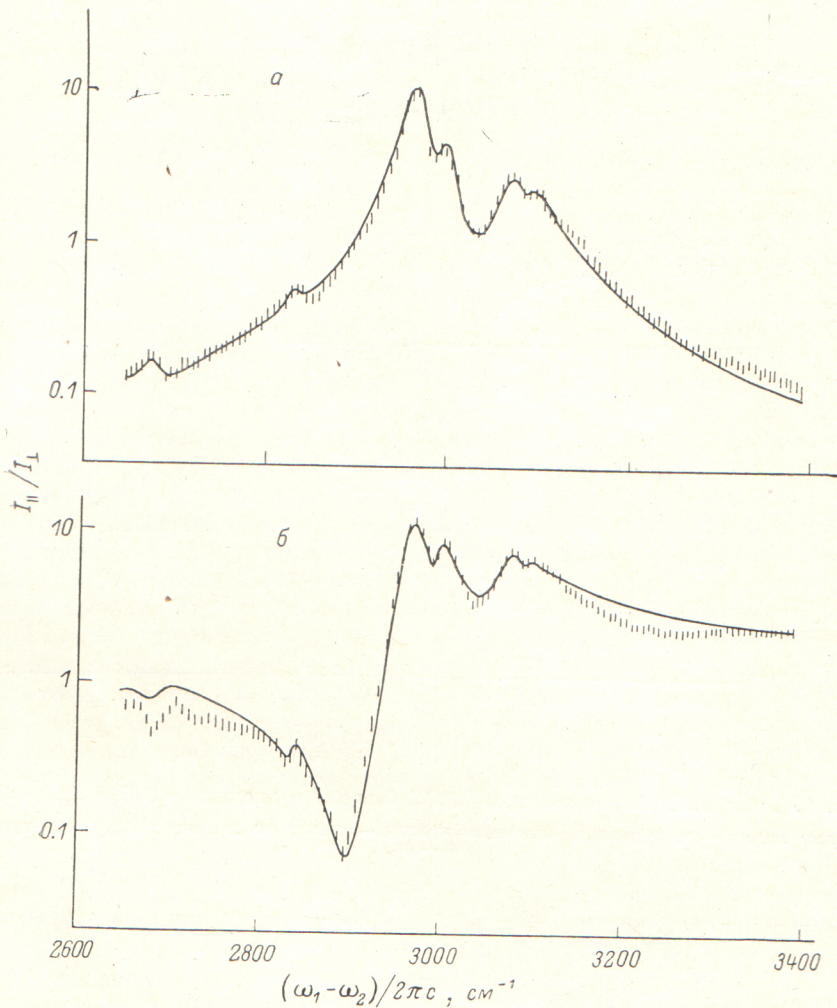


Рис. 2. Поляризационные спектры КАРС ацетона в диапазоне 2640—3380 см<sup>-1</sup>. Вертикальные линии — эксперимент, сплошные кривые — расчет по данным таблицы,  $\varepsilon$ , град:  $a = 0$ ,  $b = 10$ .

Измерения проводились на автоматизированном КАРС-спектрометре, подробно описанном в [7, 8]. Для исследования использовались образцы особо чистого ацетона и бензола. Полученные в экспериментах спектры поляризационной КАРС представлены на рис. 1 и 2. Каждая точка является результатом усреднения по 30 лазерным вспышкам, вертикальные линии указывают среднеквадратичное отклонение.

Формула (2) в общем виде описывает получаемые в поляризационной КАРС спектры  $I_{\parallel}/I_{\perp}$ . С целью определения индивидуальных спектроскопических

параметров отдельных компонент полос КР бензола и ацетона нами была приведена процедура «подгонки» рассчитанного по формуле (2) спектра под экспериментальные зависимости.

В результате были найдены наборы спектроскопических параметров, представленные в таблице, для которых получается хорошее совпадение с экспериментом, причем одновременно для различных поляризационных условий ( $\epsilon > 0$ ,  $\epsilon < 0$ ,  $\epsilon = 0$ ). Это подтверждает корректность проведенных измерений.

Сравнение представленных в таблице результатов с известными из литературы данными СКР, например для бензола [9], показывает, что в изучаемом диапазоне действительно регистрируется 7 резонансов, причем частоты линий, а также отношения их интенсивностей находятся в хорошем соответствии. В то же время поляризационная спектроскопия КАРС позволяет исследовать указанные полосы с более высоким спектральным разрешением (в наших экспериментах  $1 \text{ см}^{-1}$ , которое можно улучшить по крайней мере на порядок), обеспечивающееся как узкими линиями накачек, так и поляризационной методикой.

Кроме того, полученные спектры позволяют определить ширины и степени деполяризации отдельных компонент широких полос, что в СКР сделать довольно трудно из-за сильного перекрытия линий.

В заключение отметим, что настоящая поляризационная методика, основанная на измерении отношения интенсивностей двух взаимно ортогонально поляризованных компонент антистоковой волны  $I_{\parallel}/I_{\perp}$ , обеспечивает высокую точность, так как отношение  $I_{\parallel}/I_{\perp}$  не зависит от амплитудных флуктуаций сигнала, которые характерны при работе с импульсными лазерами. Это обеспечивает практически идеальную воспроизводимость спектров КАРС в различных сериях измерений и позволяет надежно регистрировать слабые резонансы, а также определять их спектроскопические параметры.

### Литература

- [1] Эйзенберг Д., Каупман Б. Структура и свойства воды. Л., 1975. 344 с.
- [2] Leopold D. A., Caputo B., Nogee F. E. — Appl. Opt., 1979, v. 18, N 11, p. 1732—1745.
- [3] Атлас спектров растворителей / Под ред. В. А. Контурова. Новосибирск, 1975. 136 с.
- [4] Ахманов С. А., Коротеев Н. И. Методы нелинейной оптики в спектроскопии рассеяния света. М., 1981. 544 с.
- [5] Асланян Л. С., Бункин А. Ф., Коротеев Н. И. — Опт. и спектр., 1979, т. 46, в. 1, с. 165—174.
- [6] Асланян Л. С., Бункин А. Ф., Чуприна С. А. — Вестн. МГУ. Сер. Физика, астрономия, 1981, т. 22, с. 62—67.
- [7] Бункин А. Ф., Власов Д. В., Галумян А. С., Мальцев Д. В., Сурский К. О. — Кvant. elektron., 1985, т. 12, с. 788.
- [8] Свердлов Л. М., Коннер М. А., Крайнов Е. П. Колебательные спектры многоатомных молекул. М., 1970. 599 с.
- [9] Погорелов В. Е., Саливон Т. И. — УФЖ, 1980, т. 25, № 12, с. 1971—1974.

Поступило в Редакцию 27 сентября 1985 г.